

디지털 적응제어 시스템 해석을 위한 마이크로컴퓨터 지원설계

주 헤 호 조 총 리  
영남 대학교 공과 대학 기계설계공학과

Microcomputer - Aided Design for A Digital Adaptive Control System

Heaho Joo Choongrae Cho  
Department of Mechanical Design Yeungnam University

Abstract

In this study a microcomputer-aided design program has been developed to design and analysis for the digital adaptive control system. DACS(Digital Adaptive Control System) program has been written in GWBASIC language which is suitable for IBM-PC compatible. The dynamics of each element was modularized and described by linear difference equations. By the aid of this program, sampling time, the number of bits of A/D and D/A converter and the stability for the digital adaptive control system can be determined. In order to estimate the system parameters an on-line identification and a regression analysis method are utilized. The simulation results have been well agreed with the experiments. To demonstrate the utility of this program, an adaptive control system has been designed for air-heating system.

1. 서 론

제품의 고급화, 정밀화, 생산성의 향상, 효율 증대 및 원가 절감이 요구되는 현대의 산업 사회에서 컴퓨터를 이용한 온-라인 제어 장치가 공정제어 시스템에 차지하고 있는 비중이 점점 더 증가되고 있다. 일반적으로 공기온도를 제어하는 공기 조화 시스템에서 공기온도를 정확하게 제어한다는 것은에너지 효율을 높이고 조업의 안정성과 경제성을 향상 시킨다는 의미가 있다. 예를들면 용량이 크고 고온고압인 증기 원동소(steam power plant)의 보일러 연소 장치에는 공기 예열기의 공기량과 주위 환경에 따라 변하는 공기 온도를 적절히 제어함으로서 연료 절감 및 전화 조건을 향상시키며, 완전연소로 배기가스에 의한 대기오염을 방지할 수 있고 연소 효율을 증가시킬수 있다. 대부분 공기온도를 제어하는 시스템들은 시스템의 입력 및 외부외반작용할 때 얼마간의 지연시간을 갖고, 시스템 동특성이 외부 조건에 따라 변화하는 경우에 하나의 고정된 수학적 모형으로 표현하기는 어렵다. 디지털이나 아날로그 제어기를 설계할 경우 제어 할 시스템의 동적 특성에 크게 영향을 받기 때문에 시스템의 파라메타를 잘 모를 경우나, 시스템의 동적 특성이 시간에 따라 변할 때, 재해석 방법으로는 적절한 제어기 파라메타를 결정하기가 어렵다 [1]. 이런 경우에 적응 메카니즘을 이용하여 시스템의 동특성이 변하는 경우, 그러한

변화에 적응시키는 제어방법인 온-라인 추정(on-line identification)으로 시스템 파라메타를 추정하고 그 추정된 파라메타로부터 제어기 파라메타를 조정할 수 있는 디지털 적응제어 시스템이 요구되고 있다. 본 연구에서는 이러한 디지털 적응제어 시스템을 해석하고 설계하는데 필요한 도구의 역할을 하는 지원설계 프로그램(DACS)을 개발하였고, 시뮬레이션 기법을 제시하였다.

컴퓨터 시뮬레이션은 실물을 직접 실험하지 않고 수학적 모형을 만들어 수치해석법에 의하여 컴퓨터가 풀어 해주므로서 실험을 대신하여, 시스템을 해석하고 설계하는데 상당한 시간의 절약과 비용의 절감, 계산의 신속성, 정확성 등의 장점이 있다 [2]. 따라서 컴퓨터 지원설계 프로그램을 이용하면 신속 정확하고 값싸게 실험을 대용할 수 있는 장점이 있다.

시뮬레이션 기법은 제어시스템을 구성하고 있는 각 요소별로 모듈(module)화 사캐, 입력과 출력의 동특성을 알수 있도록 각 요소의 시스템 방정식을 차분 방정식으로 표시하여 각 요소의 반응을 알수 있도록 하였다. 이 프로그램은 IBM-PC 호환 기종에 사용되는 GWBASIC 언어를 사용하였고, 프로그램 방식은 사용자와의 대화 형식으로 구성하였으며, 사용자가 임의로 시스템 각 요소의 전달함수를 대지할 수 있도록 각 요소별로 모듈(module)화 시켜놓았다.

개발한 DACS프로그램을 사용하여 공기 예열 시스템에 대한 디지털 적응제어 시스템을 설계하였다. 공기 예열 시스템은 원심 송풍기에 의해 대기로부터 공기를 유입하여 히터 그리드(heater grid)를 지나 긴류우브를 통하여 대기로 유출된다. 뮤우브를 따라 흐르는 공기량은 원심 송풍기 위에 부착된 덤개로 수동적으로 조절할 수 있고, 뮤우브 속에 흐르는 공기온도는 히터 그리드로부터 뮤우브 끝까지 삼등분된 지점에 온도 센서를 설치하여 공기량에 따른 뮤우브 중심 부분에 흐르는 공기온도를 감지하도록 되어있다. DACS 프로그램에서 온도와 같은 공기 예열 시스템의 파라메타(시스템 시정수와 이득값)를 얻기 위해서 온-라인 추정방법 [3]을 적용하였고, 공기 예열 시스템의 송풍기 덤개 각도, 센서위치, 외부온도에 따라 시스템 파라메타가 변화 하므로 이 변수들의 함수 관계를 회귀 분석법(regression analysis)[4]을 적용하여 유도하였다. 그 관계식을 다원 회귀 방정식(multidimensional regression equation)으로 표시하여 시뮬레이션 상에서 주어진 조건에 따라 시스템의 시정수와 이득값을 구하도록 하였다. 이 DACS 프로그램으로 해석할 수 있는 범위는 다음과 같다. 1)제어 알고리즘 선택, 2)A/D 및 D/A 변환기의 비트 수 결정, 3)샘플링 시간 결정, 4)각 요소의 동특성 분석, 5)제어

시스템의 안정성 검토이다 [5]. 여러 가지 제어 알고리즘을 설계하여 시스템에 적용시켜 그 결과를 시뮬레이션 해봄으로서 제어 목적에 적합한 제어 알고리즘을 결정할 수 있다. 신호 변환기인 A/D 및 D/A 변환기의 비트수는 시스템의 시간 반응의 정확도에 영향을 미치므로 설계 목적에 따라 선택할 수 있다. 비트수가 많을수록 제품의 값이 비싸지만 필요 이상으로 비트수를 높일 필요가 없다. 디지털 적응제어 시스템에서 샘플링 시간이 시간 반응의 안정성 및 파라메타 추정 정확도에 깨지는 영향이 크므로 샘플링 시간을 결정하는 것이 중요하며, 만약 제어 시스템이 지연 시간을 갖는다면 이 지연 시간이 시스템의 시간 반응에 어떤 영향을 미치는지를 분석할 수 있고, 각 요소의 동특성과 전체 시스템의 안정성은 시뮬레이션 결과로 판단 내릴 수 있다. 이 프로그램의 사용 범위는 지연 시간을 갖는 단일 입력-단일 출력(SISO) 시스템에 국한되며 시간 영역에서의 해석만을 취급하였다. 본 연구에서는 편의상 일자 시스템 모델을 취급하였지만 설계자가 시스템 모델을 다른 모델로 대체시키면 원하는 시스템 시뮬레이션이 가능하다.

## 2. 디지털 적응제어 시스템 구성

일반적으로 디지털 적응제어 시스템은 제어기 및 파라메타 추정자(parameter estimator)와 조정 메카니즘(adjustment mechanism)으로 구성된 적응제어 메카니즘(adaptive mechanism)의 연산 역할을 하는 마이크로컴퓨터, 디지털 신호를 아날로그 신호로 변환시켜 주는 D/A 변환기와 아날로그 신호를 디지털 신호로 변환시켜주는 A/D 변환기, 제어 대상인 시스템, 시스템 출력 신호를 측정(feedback)시켜주는 센서와 그의 전치 증폭기(pre-amplifier)로 구성되어 있다. 디지털 적응제어 시스템의 전체 블럭 선도는 Fig.1과 같다.

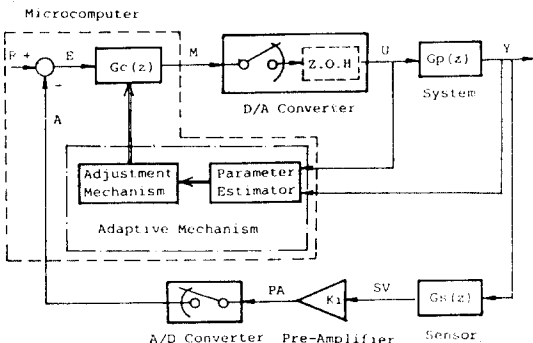


Fig.1 Digital Adaptive Control System Block Diagram

## 3. 적응제어 시스템 모델링

디지털 적응제어 시스템을 시뮬레이션 하기 위하여 Fig.1의 각 블럭에 대한 시스템 방정식을 차분 방정식으로 표시하면 다음과 같다.

### (1) 시스템

여기서는 지연 시간을 갖는 일자 시스템으로 가정하였다. 일반적으로 공기역학 시스템을 집중파라메타(lumped parameter) 시스템으로 모델링하면 일자 시스템으로 표시된다. 사용자의 요구에 따라서 시스템의 방정식을 대체할 수 있다.

$$Y(k) = \exp(-T/TP) * Y(k-1) + KP * [(1 - \exp(-T/TP)) * U(k-(d+1)) + (\exp(-T/TP) - \exp(-m*T/TP)) * U(k-(d+2))] \quad (1)$$

여기서  $Y(k)$ 는  $k$ 번째 시스템 출력,  $U(k-(d+1))$ 는  $k-(d+1)$ 번째 D/A 변환기 출력,  $TP$ 는 시스템의 시정수,  $KP$ 는 시스템의 이득,  $T$ 는 샘플링 시간,  $TD$ 는 시스템의 지연 시간,  $d$ 는 샘플 구간에서 시간 지연 상수,  $m$ 은  $1 - (TD - D * T) / T$ 로 정의한다.

### (2) 온도 센서

온도 센서의 동특성은 일자 시스템으로 가정하였다.

$$SV(k) = \exp(-T/TS) * SV(k-1) + KS * Y(k) \quad (2)$$

여기서  $SV(k)$ 는  $k$ 번째 측환 센서의 출력,  $KS$ 는 측환 센서의 이득,  $TS$ 는 측환 센서의 시정수이다.

### (3) 전치 증폭기

전치 증폭기의 전달함수는 일반적으로 상수로 표시된다.

$$PA(k) = KI * SV(k) \quad (3)$$

여기서  $PA(k)$ 는  $k$ 번째 전치 증폭기의 출력,  $KI$ 는 전치 증폭기의 이득이다.

### (4) A/D 변환기

A/D 변환기는 Unipolar 형으로 비트수를 임의로 선택할 수 있다.

$$AD(k) = (2^n - 1) * PA(k) / IMAXV \quad (4)$$

여기서  $AD(k)$ 는  $k$ 번째 A/D 변환기 출력,  $n$ 는 A/D 변환기의 비트수,  $IMAXV$ 는 A/D 변환기의 사양 출력 전압이다.

### (5) 제어 알고리즘

여기서 사용한 제어 방식은 Increased order deadbeat 제어 알고리즘을 채택하였다. 이 알고리즘의 차분 방정식은식 (5)와 같다.

$$M(k) = M(k-(d+1)) * P1 + M(k-(d+2)) * P2 + e(k) * Q0 + e(k-1) * Q1 + e(k-2) * Q2 \quad (5)$$

여기서  $M(k)$ 는  $k$ 번째 제어기의 출력,  $e(k)$ 는  $k$ 번째 이산치 오차,  $P1, P2, Q0, Q1, Q2$ 는 제어 상수들이고, 조정 메카니즘에서 결정되는 상수들이다.

### (6) D/A 변환기

D/A 변환기는 Unipolar 형으로 비트수는 임의로 선택할 수 있다.

$$U(k) = OMAXV * M(k) / (2^n - 1) \quad (6)$$

여기서  $U(k)$ 는  $k$ 번째 D/A 변환기 출력,  $n$ 는 D/A 변환기의 비트수,  $OMAXV$ 는 D/A 변환기의 사양 출력 전압이다.

### (7) 파라메타 추정자

여기서는 시스템 모델 차수가 일자이고 지연 시간을 갖는 시스템의 파라메타를 추정하기 위하여 반복 최소 자승 알고리즘을 사용하였다. 반복 최소 자승 알고리즘은 다음과 같다.

$$\underline{\Omega}(k) = \underline{\Omega}(k-1) + \underline{L}(k) * [Y(k) - \underline{R}^T(k) * \underline{\Omega}(k-1)] \quad (7)$$

$$\Theta^T(k) = [ A_1(k), B_1(k) ] \quad \text{----- (8)}$$

$$\underline{\underline{R}}^T(k) = [ -Y(k-1), U(k-(d+1)) ] \quad \dots \quad (9)$$

$$\underline{L}(k) = \frac{\underline{P}(k) * \underline{R}(k)}{\underline{R}(k) * \underline{P}(k) * \underline{R}'(k)} \quad (10)$$

$$P(k+1) = [I - L(k)^T R^T(k)]^{-1} P(k) \quad (11)$$

$$\hat{P}(0) = \alpha * \frac{I}{\hat{\Sigma}} \quad \text{----- (12)}$$

여기서  $\Theta(k)$ 는  $k$ 번 째 추정한 시스템 입력과 출력에 대한 대이터 벡터,  $R(k)$ 는  $k$ 번 째 시스템  $A_1(k), B_1(k)$ 는  $k$ 번 째 행렬,  $I$ 는 단위 행렬,  $Y(k)$ 는  $k$ 번 째 추정값,  $L(k)$ 는  $k$ 번 째 시스템 입력값,  $L(k)$ 는 수으로  $U(k)$ 는  $k$ 번 째 시스템 출력값,  $U(0)$ 와  $P(0)$ 는 0 보다 큰 값으로  $\Theta(0)$ 는 시스템 값을 초기화하는 텐서이다. 여기서  $\Theta(0)$ 는 초기값, 여러 가지 수치적 결과,  $\alpha$  값은 10000,  $\gamma$  값은 1이 가장 실재적인 시스템의 파라메타와 선택된다.

### (8) 조정 메카니즘

Increased order deadbeat 제어 알고리즘의 제어 상수를 결정하는 메카니즘이며, 식(13)에서 식(17)까지는 제어 알고리즘 설계에서 유도된식들이이고 이식으로부터 제어 상수가 결정된다.

$$Q_0 = 1 / ((1 - A_1(k)) * B_1(k)) \quad \text{--- (13)}$$

$$Q1 = Q0 * (A1(k) - 1) + 1 / B1(k) \quad (14)$$

$$Q_2 = Q_0 * -A_1(k) + B_1(k) / A_1(k) \quad \text{--- (15)}$$

$$P_1 = Q_0 * B_1(k) \quad \text{--- (16)} \\ P_2 = Q_0 * (-P_1(1)) + 1 \quad \text{--- (17)}$$

$$P_2 = Q_0 * (-B_1(k)) + 1 \quad \text{--- (17)}$$

여기서  $A1(k)$ ,  $B1(k)$ 은  $k$ 번째 시스템 파라메타  
추정값,  $Q0, Q1, Q2, P1, P2$ 는 제어 상수이다.

### 3.9 시스템 초기 파라메타 결정

$$TP = A + B * SP + C * ST + D * SP * ST \quad (18)$$

$$KP = A + B * SP + C * ST + D * SP * ST \quad (19)$$

여기서 TP는 시정수이고, KP는 이득값이다. ST는 외부 온도이고, SP는 센서 위치에 따라 정수로 표시하였는데, 위치가 히터 그리드로 부터 28mm떨어진 경우를 SP=1로 하고, 140mm인 경우 SP=2, 279mm인 경우 SP=3으로 대입하면 된다. 위 방정식의 계수 A,B,C,D 같은 Table 1 과 같다.

Table 1 Numerical value of coefficients

Blower shutter angle [°]	TP (Eq. 18)				KP (Eq. 19)			
	A	B	C	D	A	B	C	D
10	5.680	-1.724	-0.125	0.105	5.188	-0.827	-0.094	0.020
30	2.523	-0.604	-7.785	0.035	2.639	-0.558	-0.034	0.015
60	0.630	+1.857	-0.067	-0.054	3.679	-1.144	-0.107	0.044
90	3.233	-0.234	-0.0535	0.028	1.175	-0.232	-0.019	0.001
120	3.331	-1.313	-0.0800	0.082	0.788	-0.030	-0.007	0.001
160	9.571	-2.577	.35318	0.147	0.520	0.031	0.001	-0.002

#### 4. DACS 지원설계 프로그램

### (1) 프로그램의 구성

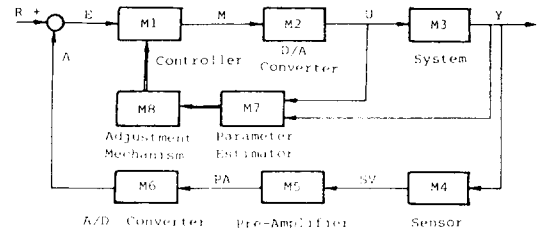


Fig.2 A module block diagram for simulation

## (2) 프로그램 논리 흐름도

### (3) 프로그램의 입출력

DACS 프로그램을 실행하기 위한 입력과 출력  
데이터는 Table 2, Table 3 와 같다. 입력  
데이터는 시뮬레이션 계산에 필요한 데이터이므로

반드시 입력되어야 하나 출력 데이터는 사용자의 선택에 따라 결정한다. 시간 반응 변수들은 Tabular form으로 표시되고 선택에 따라 그래픽으로 표시할 수 있다.

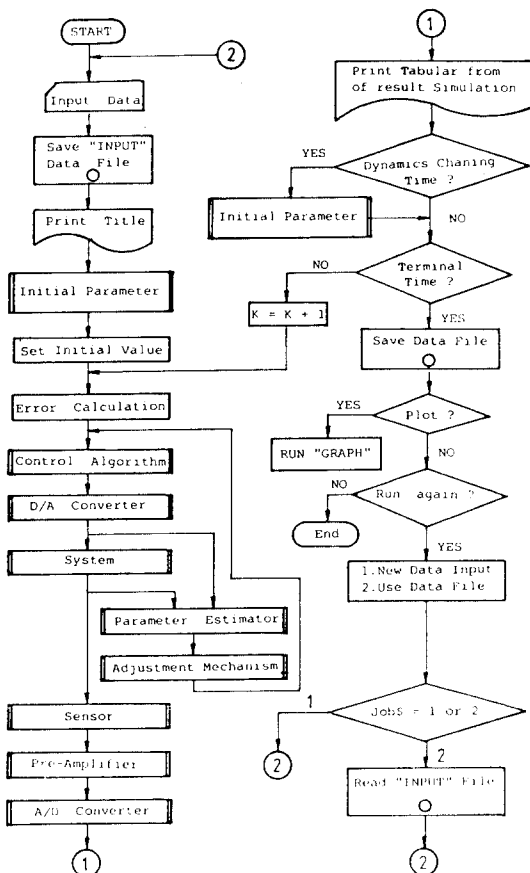


Fig.3 Flowchart of DACS

Table 2. Input parameters of simulation program

Parameters	Computer variables	Parameters	Computer variables
Sensor position	SP	D/A converter min. reference output	OMINV
Blower shutter angle	BSS	D/A converter max. reference output	OMAXV
Change of the blower shutter angle	CBS\$	Pre-amplifier gain	KI
Surrounding temp.	ST	Min. value of controlled value	MINCON
Control algorithm	CONS	Max. value of controlled value	MAXCON
Initial create number	ALPHA	Initial value	INTV
Forgetting factor	RANDA	Required value	HSGV
Gain of sensor	KS	Sampling time	SAMPIT
Time constant of sensor	TS	Time interval for print output	OUTSAMP
A/D converter bits	ABIT	Terminal time	OPTT
A/D converter minimum reference input	IMINV	System dynamics change time	CTIME
A/D converter maximum reference input	IMAXV		
D/A converter bits	DABIT		

Table 3 Output parameters of simulation program

Parameters	Computer variables
Analog value of error	E
Digital value of manipulated variable	M
Analog value of controlled variable	Y
Analog value of D/A converter	U
Analog value of sensor output	SV
Digital value of A/D converter	A

## 5. 운용 시스템

프로그램 DACS는 Intel 8086II CPU에 적합한 GWBASIC 언어로 작성되었으며 각 요소별로 시간 반응을 계산하는 프로그램과 그래픽 프로그램으로 구성되어 있다. 사용자와 컴퓨터와의 대화는 Fig.4 와 같이 수행된다. 사용자 측에서는 재어 시스템을 먼저 모델링 한 다음, 모듈 변경이 필요하면 프로그램을 읽어들여 모듈에 해당하는 서브루틴을 수정한다. 수정이 필요 없는 경우에 DACS를 실행 시킨다. 시뮬레이션에 필요한 입력 데이터가 요구되고 사용자가 이에 응답하면 시뮬레이션 결과가 시간 대 변수로서 Tabular form으로 프린트되고, 모든 데이터는 그래픽을 위하여 데이터 파일에 저장된다. 사용자가 시뮬레이션 결과를 그래프로 표시하기를 원한다면 GRAPH 프로그램이 실행된다. 그래프는 원하는 변수별로 개별적으로 표시된다.

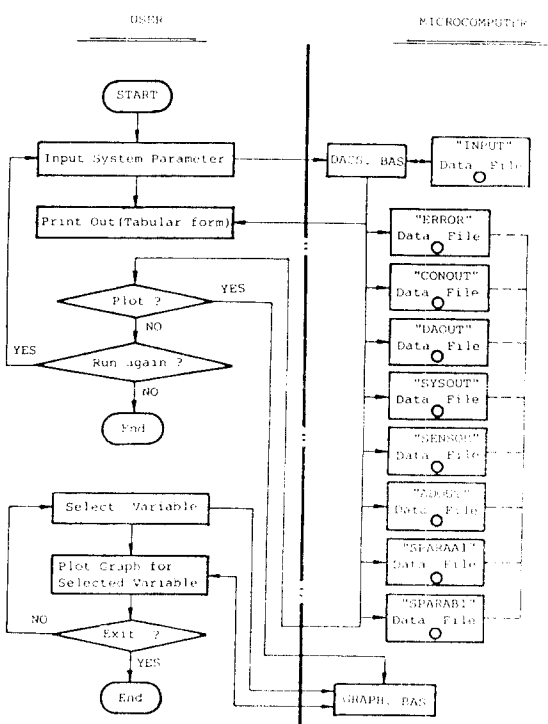


Fig.4 Operating system flowchart

## 6. 시뮬레이션 결과 및 고찰

공기 예열 시스템에 Increased order deadbeat 제어 알고리즘을 선택한 후 A/D 및 D/A 변환기의 비트수 결정과 샘플링 시간 결정에 대해서 여러 가지 조건으로 시뮬레이션 하였다. 프로그램의 입력 데이터는 Table 4 와 같다. Table 5은 시뮬레이션 결과를 Tabular form으로 표시한 것이고, Fig.5 (a)에서 Fig.5 (b) 까지는 시뮬레이션 결과와 실험 결과를 비교한 것이다. 그림으로부터 두 결과가 상당히 잘 일치 하므로 DACS 프로그램의 정확성을 알 수 있다. Fig.6 (a)에서 Fig.6 (c)까지는 샘플링 시간을 변경하였을 때 시스템의 반응을 표시한 것이다. 샘플링 시간이 적을수록 안정시간(settling time)이 짧아질 수 있다. 따라서 샘플링 시간은 0.2초 이하면 충분하다. Fig.7 (a)에서 (d)까지는 A/D 및 D/A 변환기의 비트수를 변경 하여울 때 시스템의

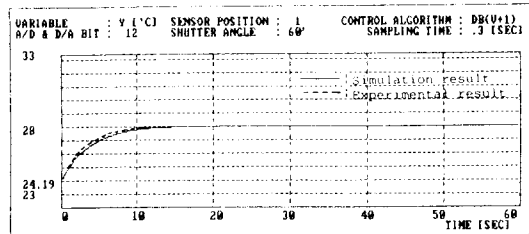
반응을 표시한 것이다. 비트수가 증가할 수록 시스템의 정확도가 높음을 알수 있다. 비트수 12와 비트수 16의 차이는 거의 없다. 따라서 12 비트 변환기를 선택함이 경제적이다. Fig.8은 디지털 적응 제어 시스템의 시스템 출력과 다른 변수(예를 들면, 오자 변수(E), D/A변환기 출력 변수(U), 센서의 출력 변수(SV))의 시간 반응 및 주정한 시스템 파라메타를 표시한 것이다. 이 결과로 부터 각 요소의 동적 거동을 분석할 수 있다. Fig.9는 시스템 동적 특성을 변화 시켰을 때 시스템 반응 및 주정한 시스템 파라메타를 표시한 것이다. 이 결과로 시스템 동적 특성을 변화될 때 그러한 변화에 대한 적응제어가 잘 작동되고 있음을 알수 있다.

Table 4 Numerical values for input parameters

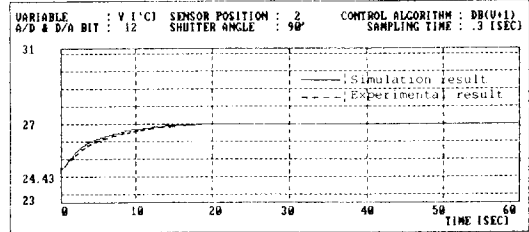
Parameters	Numerical values
Sensor position	2
Blower shutter angle	30°
Surround temperature	25°C
Control algorithm	DB(V+1)
Initial value of great number	10000
Forgetting factor	1
Gain of sensor	50mV/°C
A/D convert bits	12 bit
A/D convert min. reference input	0 V
A/D convert max. reference input	9 V
D/A convert bits	12 bit
D/A convert min. reference output	0 V
D/A convert max. reference output	9 V
Pre-amplifier gain	3.6
Min. value of controlled value	0 °C
Max. value of controlled value	50 °C
Initial value	25 °C
Required value	30 °C
Sampling time	0.2 sec
Time interval for print output	0.2 sec
Terminal time	60 sec

Table 5 Simulation results in tabular form

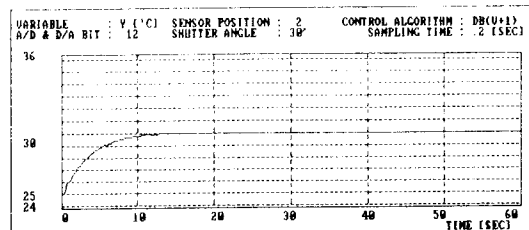
SIMULATION RESULT						
<hr/>						
REQUIRED TEMP.	:	30 °C				
SENSOR POSITION	:	2				
SHUTTER ANGLE	:	30°				
CONTROL ALGORITHM	:	DB(V+1)				
A/D & D/A BITS	:	12				
SAMPLING TIME	:	.2 (SEC)				
NOTATIONS	:	E = ANALOG VALUE OF ERROR M = DIGITAL VALUE OF MANIPULATED VARIABLE U = ANALOG VALUE OF D/A CONVERTER Y = ANALOG VALUE OF CONTROLLED VARIABLE SV = ANALOG VALUE OF SENSOR OUTPUT A = DIGITAL VALUE OF A/D CONVERTER				
TIME	E	M	U	Y	SV	A
SEC	[°C]		[V]	[°C]	[mV]	
0	-5	0	0	25	1.25	2047
.2	-5	3055	6.71	25	1.25	2047
.4	-5	3062	6.73	25	1.25	2047
.6	-5	298	.65	25.46	1.27	2085
.8	-4.54	1858	4.08	25.9	1.29	2121
1	-4.1	3067	6.74	25.9	1.29	2121
1.2	-4.1	1373	3.02	26.14	1.3	2140
1.4	-3.86	1098	2.41	26.54	1.32	2173
59	-0.01	1629	3.58	29.99	1.49	2456
59.2	-0.01	1629	3.58	29.99	1.49	2456
59.4	-0.01	1623	3.57	30	1.5	2457
59.6	0	1627	3.58	30	1.5	2457
59.8	0	1623	3.57	30	1.5	2457
60	0	1619	3.56	30	1.5	2457



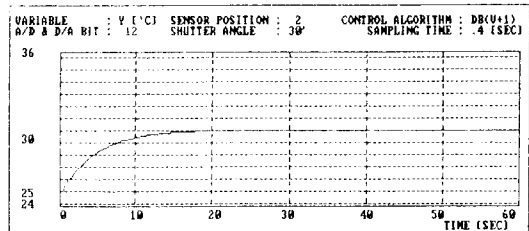
(a) Sensor position : 1, Shutter angle : 60°



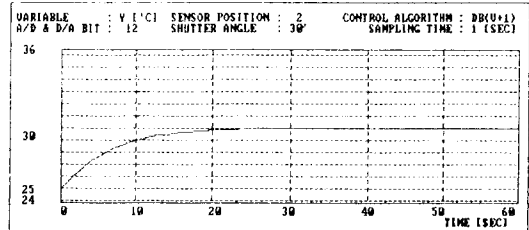
(b) Sensor position : 2, Shutter angle : 60°  
Fig.5 Comparision of simulation results with experimental results



(a) Sampling time = 0.2 sec

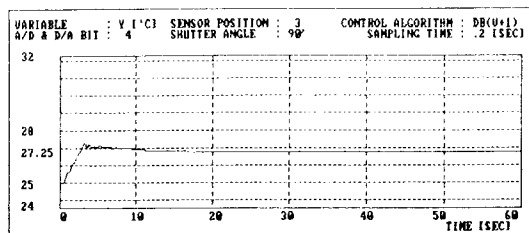


(b) Sampling time = 0.4 sec

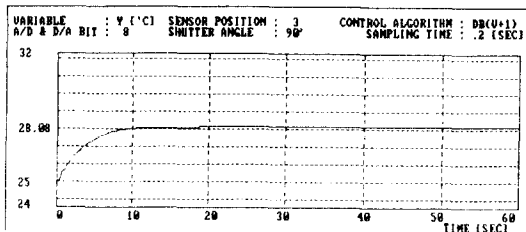


(c) Sampling time = 1 sec

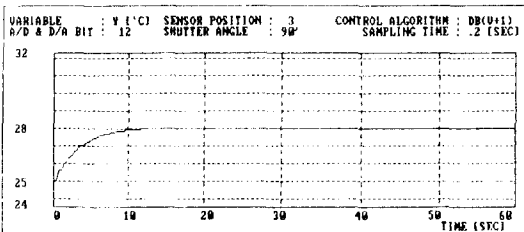
Fig.6 Time response(Y) with different sampling times



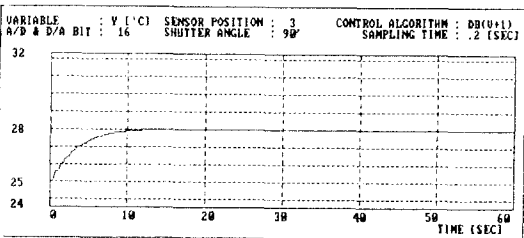
(a) A/D and D/A converter 4 bit



(b) A/D and D/A converter 8 bit



(c) A/D and D/A converter 12 bit



(d) A/D and D/A converter 16 bit

Fig.7 Time response(Y) with different the number of A/D and D/A converter bits

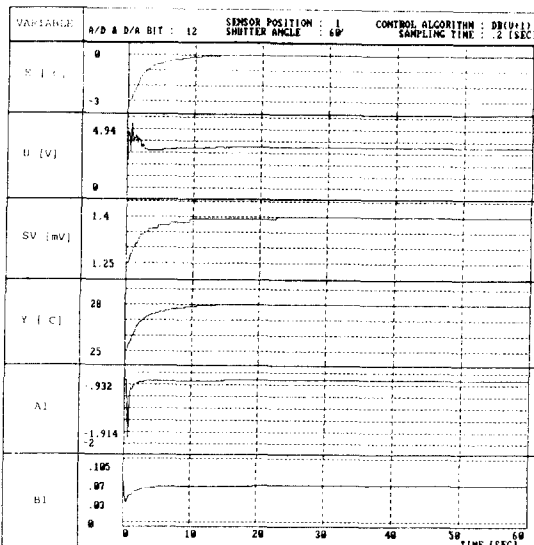


Fig.8 Overall system response for an air-heating system

E = Analog value of error  
U = D/A converter output  
SV = Sensor output  
Y = System output  
A1, B1 = System parameter

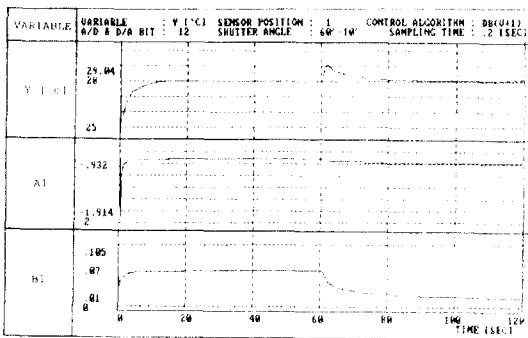


Fig.9 Time response(Y) and system parameter(A1,B1)

## 7. 결 론

Intel 8086II CPU를 갖는 IBM-PC 호환 기종에 전합한 GWBASIC 언어로 디지털 적응제어 시스템의 설계를 지원하는 프로그램 DACS를 개발하였다. 이 프로그램은 지연 시간을 갖는 단일 입력 - 단일 출력(SISO) 디지털 적응제어 시스템에 적용되며 설계 지원을 받을 수 있는 범위는 (1) 제어 알고리즘 선택, (2) 생플링 시간 결정, (3) A/D 및 D/A 변환기 비트수 결정, (4) 각 요소의 동특성 분석, (5) 시스템 안정성 검토 등이다. 이 프로그램을 이용하여 공기 애열 시스템을 설계한 결과, Increased order deadbeat 제어 알고리즘을 선택했을 때 생플링 시간은 0.2초, A/D 및 D/A 변환기의 비트수는 12비트가 가장 좋은 결과를 낳았기 때문에 실제 하드웨어를 구성 할 때 이 파라메타를 사용하면 된다. 앞으로 연구되어야 할 과제는 Z-영역에서 근궤적법과 주파수 영역에서 주파수 반응법에 의한 지원설계 프로그램과 다수 입력-다수 출력(MIMO) 디지털 적응제어 시스템을 위한 지원설계 프로그램이 연구되어야 한다.

## 참 고 문 헌

- (1) George Stephanopoulos, Chemical Process Control - An Introduction To Theory and Practice, Prentice - Hall, 1984
- (2) 주해호, Simulation Language, 대한전기학회지, 제25권, 제3호, pp.242-250, 1976
- (3) Rolf Isermann, Digital Control Systems, Springer-verlag Berlin Heidelberg New York, 1981
- (4) F.R. Ruckdeschel, BASIC Scientific Subroutines, McGRAW-Hill Publication Co., vo.1,2, 1983
- (5) 주해호, 조덕현, 디지털 제어시스템을 위한 마이크로컴퓨터 지원설계, 한국 자동 제어 학술회논문집, PP.282-287, 1987
- (6) Deshpande & Ash, Elements Of Computer Process Control With Advance Control Applications, Instrument society of America, Chapter 12, 1981